

# О ВОЗМОЖНОСТЯХ ПОВЫШЕНИЯ ДОБРОТНОСТИ МАГНИТНОГО ОТРАЖАТЕЛЯ И УПРАВЛЕНИЯ НЕВЗАИМНОСТЬЮ

B. N. Поляков

Большие оптические потери и большой температурный дрейф фазовых параметров магнитных зеркал (МЗ) препятствуют их широкому использованию в кольцевых лазерных гироскопах. При достигнутых на сегодняшний день уровнях потерь на МЗ  $\delta J \geq 1\%$  требуемый режим генерации в лазере удается осуществить лишь на длинах волн  $\lambda = 1.15, 3.39$  мкм при больших размерах газоразрядного промежутка. Это, с одной стороны, не позволяет реализовать практических преимуществ юстировки резонаторов на лежащей в видимом диапазоне длине волны  $\lambda = 0.63$  мкм, а с другой стороны, не дает ожидаемого сокращения габаритных размеров резонатора. Кроме этого, тепловой дрейф фазовой невзаимности ведет к увеличению погрешности измерений гироскопа.

В настоящей работе теоретически анализируется вариант магнитного отражателя, который в случае удачной его реализации может дать заметный выигрыш в добротности и обеспечить активное управление фазовой невзаимностью в пределах, необходимых для калибровки гироскопа с помощью опорного источника.

На рисунке приведена структура, представляющая собой тонкий воздушный слой ( $n_2 = 1$ ) размером  $d$ , расположенный между двумя однородными средами. Плоская волна, поляризованная в плоскости падения (т. е.  $E_p$ ), падает из непоглощающей среды с действительным показателем преломления  $n_1$  на микрослой. Вектор намагниченности  $M$  магнитооптической среды с комплексным показателем  $n_3^* = n_3 - i\kappa_3$  направлен перпендикулярно плоскости падения. Будем считать, что угол падения превышает критический угол полного внутреннего отражения (ПВО)

$$\varphi_1 > \arcsin \frac{1}{n_1}. \quad (1)$$

Тогда комплексные коэффициенты отражения от микрослоя будут иметь вид

$$R^\gamma = \frac{R_{12} + R_{23}^\gamma \exp\left(-\frac{d}{D}\right)}{1 + R_{12} R_{23}^\gamma \exp\left(-\frac{d}{D}\right)}, \quad (2)$$

где

$$D = \frac{\lambda}{4\pi} (n_1^2 \sin^2 \varphi_1 - 1)^{-1/2}$$

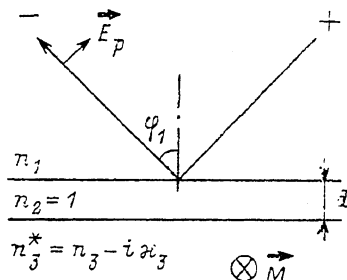
— параметр, имеющий физический смысл пространственного декремента затухания неоднородных волн, распространяющихся в микрослое;  $R_{12}$  — френелевский коэффициент отражения на границе сред с показателями  $n_1$  и  $n_2$ .

Индекс  $\gamma$  принимает значения «+» и «-», которые обозначают встречные направления отраженного от микрослоя излучения. Коэффициенты отражения  $R_{23}^+$ ,  $R_{23}^-$  от магнитооптической среды имеют разное значение из-за экваториального эффекта Керра [1]

$$R_{23}^\pm = \frac{\cos \varphi_3 - n_3^* \cos \varphi}{\cos \varphi_3 + n_3^* \cos \varphi_2} \pm i \frac{2Q \sin \varphi_2 \cos \varphi_2}{(\cos \varphi_3 n_3^* + n_3^* \cos \varphi_2)^2}, \quad (3)$$

где  $n_3^* \sin \varphi_3 = \sin \varphi_2 = n_1 \sin \varphi_1$ ;  $Q$  — параметр магнитооптической среды.

Коэффициентам  $R_{23}^+$  и  $R_{23}^-$  соответствуют знаки «+» и «-» перед вторым членом в формуле (3). По формулам (2), (3) могут быть рассчитаны величины, характеризующие невзаимность и добротность данной структуры, выраженные как функции угла падения  $\varphi_1$  и нормированной толщины слоя  $d/\lambda:1$  потери при отражении  $\delta J = 1 - J$ , где  $J = (1/2)(|R^+|^2 + |R^-|^2)$ , 2) фазовая невзаимность  $\Delta\Phi = \arg(R^+/R^-)$ , 3) амплитудная невзаимность  $\Delta J = (|R^+|^2 - |R^-|^2)$



В отличие от рассматриваемых ранее структур на нарушенном ПВО [2] здесь проанализирован случай, когда излучение, туннелирующее через микрослой, проникает в магнитно-оптическую среду на незначительную глубину (т. е. при  $d/D \gg 1$ ). За счет этого и достигается выигрыш в добротности. В предельном случае бесконечной толщины слоя ( $d \rightarrow \infty$ ), как видно из (2), реализуется режим ПВО  $R^\pm \rightarrow R_{12}$ ,  $\delta J \rightarrow 0$ ,  $\Delta\Phi \rightarrow 0$ ,  $\Delta J \rightarrow 0$ . В области  $d/D \gg 1$  функции  $\delta J$ ,  $\Delta\Phi$ ,  $\Delta J$  экспоненциально убывают при возрастании  $d$ . Это означает, что можно найти значение  $d_0$ , при котором потери на магнитном отражателе  $\delta J$  не превышали бы некоторого максимального допустимого уровня  $\delta J_{\max}$  (соответствующего, например, суммарным потерям на остальных элементах резонатора). Необходимо, однако, чтобы создаваемая при этом фазовая невзаимность  $\Delta\Phi$  ( $d_0$ ) обеспечивала требуемый минимальный сдвиг частоты  $f_{\min}$  между встречными волнами, который определяется зоной синхронизации встречных волн в кольцевом лазере, а также диапазоном измеряемых угловых скоростей. Связь между  $f$  и  $\Delta\Phi$ , как известно [3], выражается формулой

$$f = \frac{c \cdot |\Delta\Phi|}{\pi L}, \quad (4)$$

где  $C$  — скорость света,  $L$  — длина резонатора.

Для современных малогабаритных лазеров с  $L \approx 20$  см на  $\lambda = 0.63$  мкм приемлемыми можно считать ограничения

$$f_{\min} \approx 10 \text{ кГц}, \quad \delta J_{\max} \approx 0.3\%. \quad (5)$$

Проведенные расчеты показывают, что для реально достижимых на сегодняшний день значений намагниченности (т. е. величин  $Q$ ) можно подобрать оптимальные значения  $\varphi_1$  и  $d$ , при которых указанные выше условия удовлетворяются.

$\frac{d}{\lambda}$	$\delta J, \%$	$\Delta\Phi, \text{град}$	$\Delta J \cdot 10^4$	$\frac{d}{\lambda}$	$\delta J, \%$	$\Delta\Phi, \text{град}$	$\Delta J \cdot 10^4$
2.1	1.51	0.0269	2	2.6	0.32	0.0057	<1
2.2	1.11	0.0197	2	2.7	0.23	0.0042	—
2.3	0.81	0.0144	1	2.8	0.17	0.0031	—
2.4	0.59	0.0106	1	2.9	0.12	0.0022	—
2.5	0.43	0.0078	1				

В таблице приведены результаты расчета параметров структуры с  $n_1 = 1.457$  (стекло КУ-1),  $n_3^* = 2.37 - i \cdot 4.5$ ,  $\varphi_1 = 45^\circ$ ,  $Q = 0.063 - i \cdot 0.045$  (константы ферромагнетика  $n_3^*$  и  $Q$  взяты из [4]). Видно, что при  $2.7 \cdot \lambda \leq d \leq 2.9 \lambda$

$$\delta J \leq 0.23\% < \delta J_{\max}, \quad f_{\min} < 18 \text{ кГц} \leq f \leq 35 \text{ кГц}. \quad (6)$$

Амплитудная невзаимность при этом не превышает  $10^4$ .

Идея магнитного отражателя с управляемой невзаимностью основывается на двух функциональных особенностях структуры, анализ которой проведен выше. Во-первых, использование эффекта ПВО в области  $d/D \gg 1$  позволяет повысить добротность структуры при сохранении требуемой величины фазовой невзаимности. Во-вторых, за счет возможности изменения толщины  $d$  воздушного слоя в пределах, где удовлетворяются условия  $\delta J < \delta J_{\max}$ ,  $f > f_{\min}$  (5), (6), создается возможность активной компенсации теплового дрейфа фазовой невзаимности (и частоты  $f$ ) с помощью широко используемых систем стабилизации частоты. Конструктивно такая структура может быть реализована в призменно-зеркальном модуляторе, описанном в [8], где величина микрозазора регулируется с помощью пьезоэлемента. Неучтенные в расчетах потери в призме из стекла КУ-1 не должны превышать 0.1 %. Так что общие потери  $\delta J + 0.1\%$  не выходят существенно за ограничения, определенные в (5), (6).

### Список литературы

- [1] Соколов А. В. Оптические свойства металлов. М.: Физматгиз, 1961. 464 с.
- [2] Мамаев Ю. А., Новиков М. А. // ЖТФ. 1982. Т. 52. Вып. 12. С. 2431—2434.
- [3] Войтovich A. P., Севериков B. N. Лазеры с анизотропными резонаторами. Минск: Наука и техника, 1988. С. 49.

- [4] Мамаев Ю. А., Новиков М. А. // ЖТФ. 1982. Т. 52. Вып. 7. С. 1441—1444.  
[5] Поляков В. Н. // Опт. и спектр. 1989. Т. 67. Вып. 6. С. 1365—1368.

Поступило в Редакцию  
13 апреля 1990 г.  
В окончательной редакции  
24 октября 1990 г.

04

© 1991 г.

Журнал технической физики, т. 61, в. 6, 1991

## ОБ ЭНЕРГЕТИЧЕСКОМ БАЛАНСЕ КОАКСИАЛЬНОГО ПЛАЗМЕННОГО ИНЖЕКТОРА В КВАЗИСТАЦИОНАРНОМ РЕЖИМЕ РАБОТЫ

Д. А. Дричко, Г. А. Дюжев

В работе [1] было показано, что при использовании широко распространенной конструкции коаксиального плазменного инжектора в квазистационарном режиме работы не удается реализовать электродинамический механизм ускорения плазмы. Вольт-амперная характеристика инжектора была линейной, а скорость плазмы слабо росла с ростом разрядного тока и по абсолютной величине была близка к скорости ионного звука.

При линейной ВАХ энергия, забираемая инжектором от источника питания  $\sim I^2$ , в то время как при больших токах разряда, когда плазма уже полностью ионизована и потери энергии на ионизацию практически не растут, скорость плазмы увеличивается незначительно, температура электронов, хотя и увеличивается, но имеет такие низкие значения, при которых потери энергии на излучение пренебрежимо малы. Остается неясным вопрос, на что расходуется энергия источника питания.

Можно предположить, что значительная доля энергии источника поступает в виде тепла в электроды инжектора. Теоретический расчет энергетических потерь в электроды даже для разрядов, равномерно распределенных по поверхности электродов, представляет собой довольно трудную задачу [2], поэтому в настоящей работе предпринята попытка экспериментального определения тепловых потоков в электроды.

Конструкция инжектора и условия эксперимента подробно описаны в [1]. В данной работе проводилось калориметрирование электродов инжектора. Для этого в тело катода и анода было заделано несколько термопар, а катодный и анодный фланцы, находящиеся вне вакуумной камеры, для уменьшения теплоотдачи тщательно теплоизолировались.

Эксперименты проводились следующим образом. Пусковые импульсы с задающего генератора с периодом повторения 30 с подавались на катушку газового клапана и через время задержки  $\sim 500$  мкс на разрядник конденсаторной батареи. Через 5 запусков в паузу между импульсами снимались показания термопар. Вся серия измерений состояла из 20 разрядов, так как при большем их количестве возрастала роль остывания электродов. Измерение температуры электродов в зависимости от режима работы инжектора составляло для катода  $\sim 10—40$  °C, для анода  $\sim 5—20$  °C.

Количество тепла, получаемого электродом, вычислялось по формуле  $Q = cm(T - T_0)$ , где  $c$  — теплоемкость;  $m$  — масса;  $T_0$ ,  $T$  — начальное и измеренное значения температуры электрода. Для примера на рис. 1 приведена величина потока тепла в анод  $Q_a$  в зависимости от времени  $t$  (или количества импульсов  $N$ ) для одного из исследованных режимов. Экспериментальные точки при  $t > 10$  мин — это остывание электрода после серии разрядов.

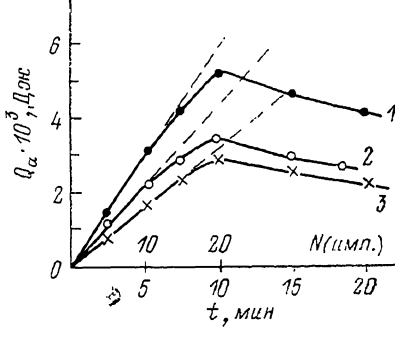


Рис. 1. Количество тепла, поступающее в анод.

$^{\circ}$ С, г/с: 1 — 0.1, 2 — 0.3, 3 — 1.0;  $I = 17$  кА.